

弾塑性理論に基づく地盤の変形解析(その2)

—砂の応力～ひずみ関係—

信州大学 大学院 学生員 大谷 和弘

信州大学 工学部 正会員 小西 純一

1 まえがき 地盤の応力、変形解析に関する数値解析手法として、Duncanらによる双曲線表示法、あるいはそれに類似した非線形解析が行なわれている。しかし、土質材料はダイレタンシーや応力経路依存性を示し、これらが地盤の応力、変形特性に及ぼす影響が大きいことなどを考えると、これら土質材料固有の諸特性を考慮した応力～ひずみ関係式を考えてゆく必要がある。このよう観点から、本研究は土質材料固有の諸特性を考慮した砂の応力～ひずみ関係について弾塑性論的立場から、若干の考察を加え、三軸圧縮試験結果との比較、検証を行うものである。

2 応力～ひずみ関係 砂の降伏について多くの研究者が塑性論に基づき検討をしている。Roscoe⁽¹⁾らは降伏条件式に対するNormality ruleは成立するとしているが、龍岡⁽²⁾、西らは降伏条件式に対するNormality ruleは成立しないというが、一致した結論の様である。また、西はせん断、圧密に関する塑性ポテンシャル及び降伏条件式はそれぞれ独立に存在するとしている。従って本研究では、次式に基づき理論計算を進めた。 $\{d\varepsilon\}^P = \{d\varepsilon_s\}^P + \{d\varepsilon_c\}^P = f_s \{\varepsilon_{ssf}\} d\varepsilon_s + f_c \{\varepsilon_{cf}\} d\varepsilon_c$ ここで $\{d\varepsilon\}^P$ は塑性ひずみ増分、 f_s は塑性ポテンシャル関数、 f_c は降伏条件式、 ε_{ssf} はひずみ硬化に関する比例定数でありサブ・ツィス S 、 C はせん断、圧密を意味している。図-1に実験で求めたせん断に関する降伏曲線の断片及び塑性ひずみ増分ベクトルを示し、あわせて龍岡らが提案する降伏関数及びRoscoe Sによるエネルギー式からの塑性ポテンシャル関数を示したが、降伏関数と断片はよく一致しており、塑性ひずみ増分ベクトルは塑性ポテンシャル関数に直交している。さらに図-1よりNormality ruleが成立していないのがわかる。従って砂の降伏条件式として $f_s = T_0 d\sigma / \sigma_m + m \ln \sigma_m \dots \dots (1)$ 、 $f_c = \sigma_m$ 、塑性ポテンシャル関数として $g_s = T_0 d\sigma / \sigma_m + M_m \ln \sigma_m \dots \dots (3)$ 、 $g_c = \sigma_m$ を採用した。また、西らによつて提案されている降伏条件式

$$f_s = T_0 d\sigma / \sigma_m \dots \dots (2) \text{ を使って比較の}$$

意味で計算を行つた。ここにお

$$(1) \text{ で } T_0 d\sigma = (2J_1 / 3)^{1/2}, \sigma_m = J_1 / 3 \text{ であ}$$

り、 J_1, J_2 は応力の不变量である。

M_m は critical state の $T_0 d\sigma / \sigma_m$ で

ある。さらに f_s 及び f_c の具体的

表示のため硬化関数の定式化が

必要であるが、ここでは $T_0 d\sigma / \sigma_m \sim \sigma^{1/2}$

曲線を初期接線勾配 G 及び破壊

時の $T_0 d\sigma / \sigma_m$ (M_f で表示) を用いた

双曲線で表示し、 f_s ～ σ_m 関係と

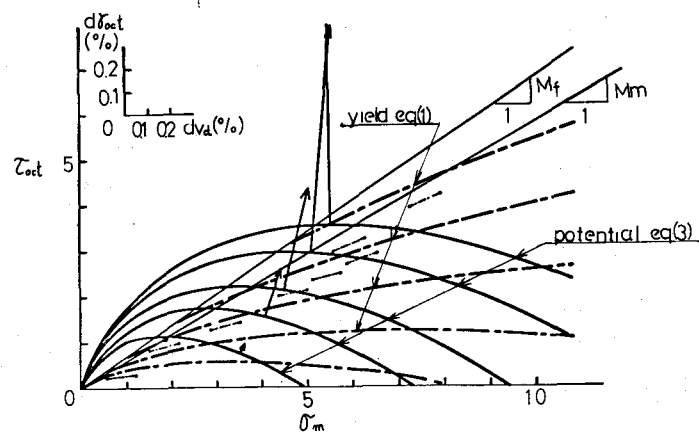


図-1

して $e \sim \log \sigma_m$ の直線性を仮定する。すなはち
 $\sigma_s = 3\sigma_m \{M_s / (M_s - T_{tot}/\sigma_m)\}^2 d(\log \sigma_m) / 2G dt$
 $\sigma_c = \lambda / (1+e)\sigma_m$ であり、入は最大圧密時の $e \sim \log \sigma_m$ の勾配である。なお体積ひずみにはすべて塑性成分として扱っている。

3 試料及び実験装置 用いた試料は、 $G_s = 2.632$, $e_{max} = 0.988$, $e_{min} = 0.642$ 、粒径 $0.84\text{ mm} \sim 0.2\text{ mm}$ の屏川砂である。プラテン中央部には、径 10 mm の排水用ポーラスストーンを設け、供試体端面にはシリコングリースを塗布した薄いゴム膜をおき端面摩擦の除去に努めた。軸方向載荷はひずみ制御方式を用い、実験はすべて排水条件で行なった。実験に用いた試料の剛性比は $0.92 \sim 0.96$ である。なお、側圧が変化するとゴム膜がワニ入りで真の体積変化を示さないため、あらかじめ体積変化補正を行なうため補正曲線を作成しておいた。

4 応力～ひずみ関係式の検証 応力～ひずみ関係式と実験結果との対比を示したのが図-2, 3, +である。

この図においても対応が良いと言える。 T_{tot}/σ_m には(図2, 3)において、実験結果は大きくワン曲しているが、計算結果はゆるいカーブを描いている。また、 $T_{tot}/\sigma_m \sim e_1$, $T_{tot}/\sigma_m \sim e_3$ (図-4)では、実験結果よりも、計算結果の方がひずみの小さいところで立ちあがりが大きい。これは塑性ひずみ増分に大きく影響する σ_s , σ_c の仮定に問題があると思われる。今回採用した式(1)と西らによつて提案された式(2)とを用いた結果を比較すると差がないようである。

5 あとがき 今回の実験に用いた供試体は非常にゆるぎめであるので、得られたパラメータにはらつきがあった。今後は密な供試体について実験を行い、有限要素法を用いて地盤の変形解析を実施する方針である。なお、実験に協力してくれた本学4年生、宇野、萩原兩君に感謝します。

参考文献 Roscoe et al.: Yielding of clays in states wetter than critical: Geotech(1963)
 龍岡、石原：Yielding of sand in triaxial compression: Soils and Found Vol.14 (1974)
 西、江刺：軟質地盤における基盤の支持力と変形: 地盤報告376014 (1977)

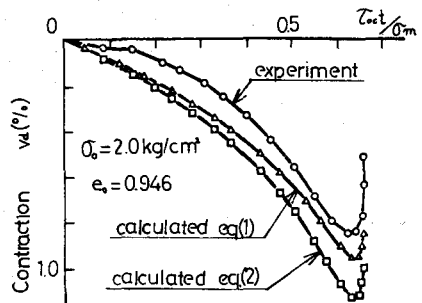


図-2

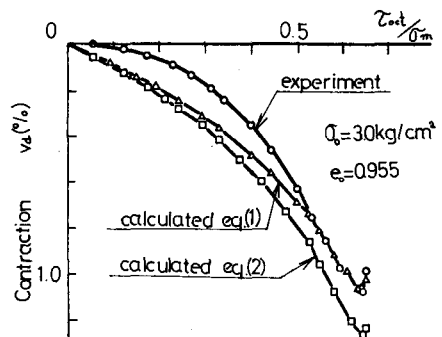


図-3

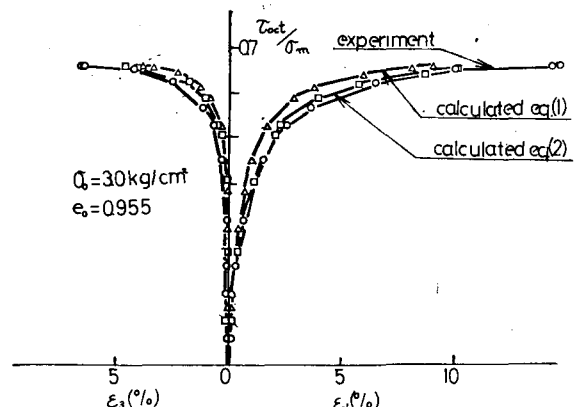


図-4